

# LE SYSTÈME PROIE-PRÉATEUR DE VOLTERRA - LOTKA

12/02/2013

prépa agrég.

①

## Plan

- 1) Présentation du modèle
- 2) Existence, unicité, temps?
- 3) Comportement au voisinage d'un pt d'équilibre

### 1) Présentation du modèle

#### 1.1- Les variables

On s'intéresse à l'évolution de 2 populations d'animaux en interaction : des proies et des prédateurs (ex: sardines / requins avec de vraies observations comme quoi l'arrêt de la pêche (des sardines !) en Adriatique pdt la guerre a mit aux sardines ou lynx / lapins des données réelles entre 1845 et 1935 montrent un comportement périodique).

$X(t)$  = nombre de proies au temps  $t$

$Y(t)$  = nombre de prédateurs au temps  $t$ .

Ce sont des nombres ! On veut un modèle continu ! Faisons de voir : les voir plutôt comme des proportions ; par rapport à des grands nombres consé-fixés  $X_0$  et  $Y_0$  :  $x(t) = \frac{X(t)}{X_0}$ ,  $y(t) = \frac{Y(t)}{Y_0}$  ; on compte finalement des "millions de lapins".

#### 1.2 - Hypothèses

- En l'absence de prédateurs, les proies ont un taux de croissance constant  $a > 0$ , i.e.

$$(1) \quad \frac{\Delta X(t)}{X(t)} = \frac{X(t+\Delta t) - X(t)}{\Delta t \times X(t)} = a > 0.$$

D'un point de vue EDO, le passage  $\Delta t \rightarrow 0$  donne

$$\frac{dx(t)}{dt} = a$$

(Croissance exponentielle, vision Malthusienne).

(2) En l'absence de proies, les prédateurs disparaissent faute de nourriture :  $\frac{y'(t)}{y(t)} = -c$ ,  $c > 0$  fixé

(2)

(3) Interaction 1: les prédateurs agissent sur les proies comme un taux de croissance négatif proportionnel à leur nombre

$$\frac{x'(t)}{x(t)} = a - by(t) \quad b > 0 \text{ fixé}$$

(4) Interaction 2: les proies (nourriture) ————— prédateurs, ————— positif

$$\frac{y'(t)}{y(t)} = -c + dx(t), \quad d > 0 \text{ fixé}$$

Bilan

$$\begin{cases} x'(t) = (a - by(t))x(t) \\ y'(t) = (-c + dx(t))y(t) \end{cases} \quad (\text{VL})$$

$x(0) = x_0 \text{ fixé}, y(0) = y_0 \text{ fixé.} \quad x_0, y_0 > 0.$

### 1.3 - questions

Évolution de  $x(t), y(t)$ ? Extinction? En temps fini? Infini?  
Modèle fidèle?

On n'a pas de résolution analytique, on va donc se contenter de qualitatif et de numérique.

## 2) Existence

### 2.1 - Rappels

Existence de solutions  $\leftarrow$  Cauchy - Lipschitz.

Rélm : soit  $\begin{cases} y'(t) = f(t, y(t)) \\ y(0) = y_0 \in \mathbb{R}^n \end{cases}$  avec  $f$  continue  
 $\Leftrightarrow$  ICR de  $x, \mathbb{R}^n \rightarrow \mathbb{R}^n$  et localement lipschitziennne en la variable  $y$   
alors  $(P)$  admet une unique solution maximale ~~sur~~  $[0, T]$ , déf. sur un intervalle ouvert  $[0, T]$

Lg. • loc. lipsh = hyp. minimale mais en pratique on n'en faut, il faut juste savoir que C'est suffisant.

- Version générale de C-L. Il y a plus simple, notamment la version "linéaire" car elle s'applique aux SL : si l'on entend "localement", alors on peut gagner que la solution est globale, i.e.  $T = \sup I$ , et la preuve est plus simple ! (cf. Bouvierie).
- Preuve : écrire la formule d'int. de (P) et faire un pt fixe
- C-L est un rés. & ex. et d'unicité ; on peut avoir existence locale sous des hyp. plus faibles : seule la continuité de  $f$  suffit, c'est Cauchy-Péano. Il peut se démontrer par des arguments de méthode numérique d'Euler explicite (CL) aussi. cf Demailly ou ma page. (On perd l'unicité, exo  $|y''(t) = 3|y|^{2/3}|$   
 $y(0) = 0$ )

Def-Corollaire : si on appelle trajectoire partant de  $y_0$  l'ens.

$\{y(t) \mid t \in [0, T]\}$  où  $y$  est la sol non de  $(P)_{y_0}$ , alors on a : deux trajectoires différentes sont disjointes.

On peut aussi s'intéresser à des questions de temps d'existence. (4)

Thm: sous les mêmes hypothèses. Si  $T < \sup I$  alors  $\forall K$  compact de  $\mathbb{R}$ , l'uniforme  $V$  de  $T$  dans  $[0, T] \cap \mathbb{R}^K$ ,  $\forall t \in V$

Remarque: théorème un peu compliqué mais au message simple.  
Voir une version plus simple en prenant  $\mathbb{R} = \mathbb{R}^n$

↳ ça dit qu'une sol<sup>e</sup> maximale non globale explose en temps fini! Donc si on arrive à montrer une version que  $y(t)$  est bornée, elle est globale! Par saut Granwall on retrouve la globalité.  
Si  $\mathbb{R} \neq \mathbb{R}^n$  ou si on n'est pas en dim. finie il faut utiliser l'énoncé général.

## 2.2 - Applications à Volterra - Lotka

• En posant  $u(t) = \begin{pmatrix} x(t) \\ y(t) \end{pmatrix}$  le système devient

$$\begin{cases} u'(t) = f(u(t)) \\ u(0) = u_0 \end{cases} \quad \text{où } f: (\mathbb{R}) \times \mathbb{R}^2 \rightarrow \mathbb{R}^2 \quad \left( \begin{pmatrix} u \\ y \end{pmatrix} \mapsto \begin{pmatrix} x(a-b)y \\ y(-c+d)x \end{pmatrix} \right)$$

$f$  est de classe  $C^1$  donc CL s'applique:

existence et unicité de sol<sup>e</sup> maximale  $u(t)$  sur  $[0, T]$ .

• Un nombre de lapins étant  $> 0$ , si le modèle est cohérent il doit respecter ceci. C'est le cas:

Prop. si  $x_0 = 0$  alors  $x(t) = 0 \quad \forall t < T$ . De plus, si l'il existe  $t_0$  tq  $x(t_0) = 0$ , alors  $x(t) = 0 \quad \forall t < T$ .

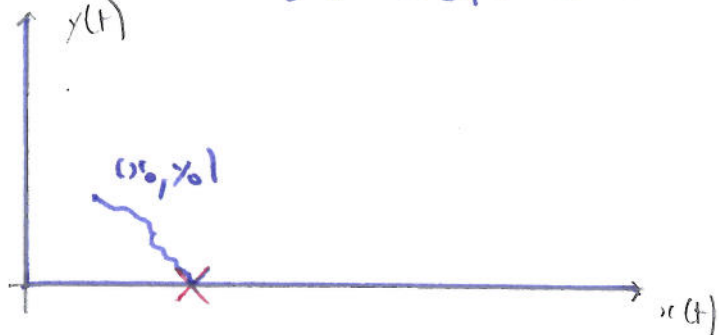
Enfin si  $x_0 > 0$ ,  $x(t) > 0 \quad \forall t < T$ .

De même pour  $y$ .

Preuve: si  $x_0 = 0$  alors  $\begin{cases} x(t) = 0 \\ y(t) = y_0 e^{-ct} \end{cases}$  est solution donc par unicité,  $x(t) = 0$ .

5

On voit que les ens.  $\{0\} \times [y_0, +\infty[$  sont des trajectoires



Si  $x_0 > 0$  et  $x(t) \leq 0$   
par TVI,  $\exists t_0 \in \mathbb{R}$   $x(t_0) = 0$   
donc  $\dot{x} = 0$  donc  $\ddot{x}_0 = 0$ ,  
absurde.

Temps d'existence? On ne sait pas a priori si  $u(t)$  est bornée, de plus on n'a pas que  $f(u) \leq A|u|^{1/2} + B$  (sa suffit aussi suffisait par Gronwall à avoir  $u$  bornée) puisque  $f$  est quadratique. Il faut quelque chose de plus subtil.

$$\begin{aligned} u(t) &= \int_{t_0}^t f(u(s)) ds \\ \|u(t)\| &\leq \int_{t_0}^t (A|u(s)|^{1/2} + B) ds \\ &\leq B(t-t_0) + A \int_{t_0}^t |u(s)|^{1/2} ds \\ \text{Donc par Gronwall} \\ \|u(t)\| &\leq B(t-t_0) e^{A(t-t_0)} \\ \text{et si } t \rightarrow +\infty, \quad u \text{ non bornée, impossible} \end{aligned}$$

Prop. Soit  $H: \mathbb{R}^2 \rightarrow \mathbb{R}$  ; alors  $H$  est une

$$(x, y) \mapsto dx - cx^2 - by + a\ln y$$

intégrale première du système (VL), ie

$$\forall t \in [0, T], \quad H(t) = \text{cste} = H(0).$$

Preuve: déjà par positivité,  $H$  est bien définie. De plus comme  $u$  est  $C^1$  et  $H \in C^\infty$ ,  $H$  est dér. et

$$\frac{d}{dt} H(t) = d_x c(t) - c \frac{x'(t)}{x(t)} + b y'(t) - a \frac{y'(t)}{y(t)}$$

$$\text{or } x'(t) = (a - by(t))x(t)$$

$$y'(t) = (-c + dx(t))y(t)$$

$$\Rightarrow dx(a - by) - c(a - by)$$

$$+ b(-c + dx)y - a(-x + dy)$$

magique!

Remarque: en systèmes dynamiques, un tel système est dit intégrable. On les aime beaucoup car on sait dès lors faire plein de choses.

(6)

D'où sort H? Écrire que  $\frac{dx(t)}{y(t)} = \frac{xc(t)(a-by(t))}{y(t)(-c+dx(t))}$   
 puis séparer les variables et intégrer.

Ex d'intérêt :

Prop : la sol marginale  $(x(T), y(T))$  est bornée (et donc  $T = +\infty$ )

Preuve : on remarque que si  $x(t) \rightarrow +\infty$ ,  $H \rightarrow +\infty$  et on se dit "lim OK...". Essayons de faire ça proprement.

$$\exists A > 0, \exists B > 0 \text{ tq } \begin{cases} A < x \\ A > B \end{cases} \quad \begin{aligned} dx < \frac{dx}{2} \\ dy < \frac{by}{2} \end{aligned} \quad \left( \frac{\ln x}{x} \text{ borné à l'}\infty \right).$$

$$\text{de } \oplus \quad \exists \alpha > 0 \text{ tq } \forall t, y > 0, \quad \begin{cases} dx - c dy > \alpha \\ by - a dy > \alpha \end{cases} \quad (\text{faire un tab de variation}).$$

donc en dehors de  $[0, A]$  ( $i.e. x > A$ ) on a

$$H(x, y) \geq \frac{dx}{2} + \left( \frac{dy}{2} - c dy \right) + by - a dy > \frac{dx}{2} + \alpha$$

donc si  $y > B$ ,  $H(x, y) > \frac{bx}{2} + \alpha$ .

dans

$$\begin{aligned} x &\leq \max(A, \frac{2}{a}(H(x_0, y_0) - \alpha)) \\ y &\leq \max(B, \frac{2}{b}(H(x_0, y_0) - \alpha)). \end{aligned}$$

### 3) Étude des points d'équilibre

#### 3.1 - Rappels

Cadre système d'équodiffs autonome  
 où  $f: \mathbb{R}^n \rightarrow \mathbb{R}^n$  et  $u_0 \in \mathbb{R}^n$  cont.

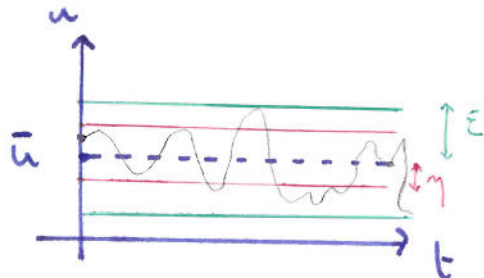
$$\begin{cases} u'(t) = f(u(t)) \\ u(0) = u_0 \end{cases} \quad (2)$$

Déf : on dit que  $\bar{u} \in \mathbb{R}^n$  est un pt d'équilibre (ou pt stationnaire) de (2) si  $f(\bar{u}) = 0$ .

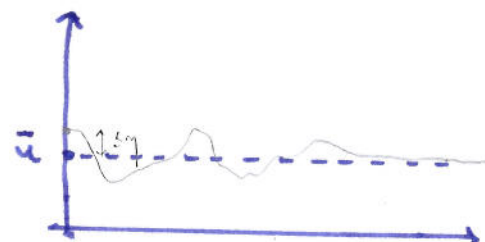
(7)

Soit  $\bar{u} \in \mathbb{R}$  un point d'équilibre. On dit que

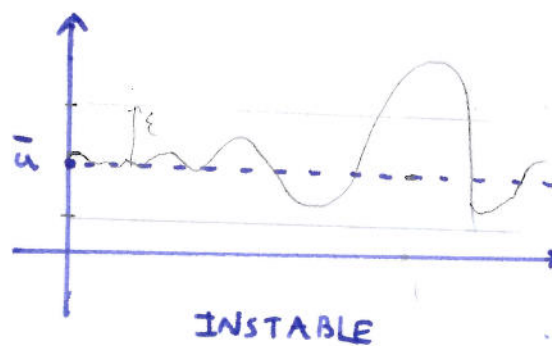
- $\bar{u}$  est stable si  $\forall \varepsilon > 0, \exists \delta > 0$  tq  $\|u_0 - \bar{u}\| < \delta \Rightarrow \|u(t) - \bar{u}\| < \varepsilon \quad \forall t \in [0, T]$
- Si de plus  $\lim_{t \rightarrow +\infty} \|u(t) - \bar{u}\| = 0$  on dit que  $\bar{u}$  est asymptotiquement stable.
- Instable = non stable.



STABLE



ASYMP. STABLE



INSTABLE

- Le cas linéaire i.e (2) est (3)  $\begin{cases} u'(t) = Au(t) & A \in M_n(\mathbb{R}) \\ u(0) = u_0 \in \mathbb{R}^n \end{cases}$   
on s'intéresse au pt d'ég 0.

### Théorème :

• 0 est asympt-stable  $\Leftrightarrow \forall \lambda \in \text{Sp}(A), \text{Re}(\lambda) < 0$

• 0 est stable  $\Leftrightarrow (\forall \lambda \in \text{Sp}(A), \text{Re}(\lambda) \leq 0)$

et ( $\text{Re}(\lambda) = 0 \Rightarrow \lambda$  est non défective, i.e

$\dim(\ker(A-\lambda I_d)) = p = \text{mult.}$   
du le poly char.

(Preuve: Chambert Loir exos d'analyse T3. △ plan d'enseignement en taquin.)  
Rouvière bien aussi.

- le cas non linéaire

Théorème de linéarisation :

Si  $f$  est diff. en  $\bar{u}$  tq  $f(\bar{u})=0$  alors :

- Si  $\forall \lambda \in \text{Sp}(Df(\bar{u}))$ ,  $\text{Re}(\lambda) < 0$ , alors  $\bar{u}$  est asympt. stable. ← preuve du théorème
- Si  $\exists \lambda \in \text{Sp}(Df(\bar{u}))$  avec  $\text{Re}(\lambda) > 0$ ,  $\bar{u}$  est instable.

ON NE SAIT RIEN A PRIORI S'IL EXISTE UN  $\lambda$  tq  $\text{Re}(\lambda)=0$ .  
exemples : ptet pour la fin.

- Un outil éventuel pour le cas où on ne sait rien  
Théorème (Lyapunov)

On suppose que  $\bar{u}=0$  (juste une notation).

On dit que  $V: U \rightarrow \mathbb{R}$  ( $U$  voisin de 0 dans  $\Omega$ ) continue, diff. sur  $U \setminus \{0\}$  tq

- $V(0)=0$  et  $\forall u \neq 0$ ,  $V(u) > 0$
- $\forall u \in U \setminus \{0\}$ ,  $\langle \nabla V(u), f(u) \rangle \leq 0$

est une fonction de Lyapunov pour  $u$ .

T'il existe une telle fonction, alors 0 est stable pour  $(z)$

Pq' preuve ACL entre au théorème je crois. Encore un résultat de systèmes dynamiques. Il est relié à la conserv. de "l'énergie"  $H$ , on le verra. La 2<sup>e</sup> condition signifie que  $V$  décroît le long du champ de vecteurs donc moralement on comprend : les trajectoires tombent dans un puits.



### 3.2 - Applications à (VL)

Calcul : les pts d'éq. sont  $(0,0)$  et  $(\frac{c}{a}, \frac{a}{b})$ .

$$\cdot Df(0,0) = \begin{pmatrix} a & 0 \\ 0 & -c \end{pmatrix} \Rightarrow \text{Sp}(Df(0,0)) = \left\{ \begin{matrix} a_1 = c \\ a_2 = -c \end{matrix} \right\} \text{ donc } a_1 > 0$$

$(0,0)$  est instable

Bien ?

Oui !

sinon tout meurt tout le temps !

$$\cdot Df\left(\frac{c}{a}, \frac{a}{b}\right) = \begin{pmatrix} 0 & -\frac{cb}{a} \\ \frac{ad}{b} & 0 \end{pmatrix}$$

$$\left| \begin{array}{l} | = x^2 + \frac{ac}{b} \\ > 0 \end{array} \right. \Rightarrow \text{Sp}(\quad) = \pm i\sqrt{ac}$$

on ne sait rien !

Mais magie : mq  $V(x,y) = H(x,y) - I + \left(\frac{c}{a}, \frac{a}{b}\right)$  est de Lyapunov. On a  $V\left(\frac{c}{a}, \frac{a}{b}\right) = 0$ . Puis

$$\frac{\partial H}{\partial x} = d - \frac{c}{y} = 0 \text{ssi } x = c/d$$

dc  $\left(\frac{c}{d}, \frac{a}{b}\right)$  seul extremum de  $H$ .

$$\frac{\partial H}{\partial y} = b - \frac{a}{x} = 0 \text{ssi } y = a/b$$

de  $\oplus H(x,y) \rightarrow \infty$  donc  $y \rightarrow \infty$

c'est un min. global et de  $V > 0$  sur  $\mathbb{R}_+ \times \mathbb{R}_+ \setminus \left\{ \left(\frac{c}{d}, \frac{a}{b}\right) \right\}$ .

$$\text{puis } \langle f(u), \nabla V(u) \rangle = \left( \begin{matrix} (a-by)x \\ (-cx+dy)y \end{matrix} \right) \cdot \left( \begin{matrix} d-\frac{c}{y} \\ b-\frac{a}{x} \end{matrix} \right)$$

$$= 0 \text{ comme avant.}$$

Donc  $\left(\frac{c}{d}, \frac{a}{b}\right)$  est stable  $\Rightarrow$  on espère donc rester autour de ce pt, en qq sorte. On verra que c'est le cas...

~~Théorie des fonctions de variables réelles~~

~~Intégration~~

~~Équations différentielles~~

~~Modélisation mathématique~~

~~Probabilités et statistiques~~

Références

- <http://www.gviap.org> plein de choses, dont quasi ce cours.
- [ACL] A. Chambat-bois, S. Fermigier, V. Maillot ; Exercices de mathématiques pour l'agrégation. Analyse 3. ( $\Delta$  aux coquilles).
- [Ravière] F. Ravière, petit guide de calcul différentiel à l'usage de la licence et de l'agrégation (plein de choses, excellent).
- [Demainly] J.P. Demainly, analyse numérique et équations différentielles. Un peu fort de café, mais contient plein de choses, notamment des preuves (à simplifier !) de Cauchy-Lipschitz / Picard par méthode d'Euler et compacité.

- [Murray] J.D. Murray, Mathematical Biology. Pour plus de modélisation sur Volterra-Lotka.

I) Quelques exemples de stabilité / instabilité linéaire / non linéaire

II) Méthodes numériques : ce qu'il faut savoir / ne pas savoir le jour J. Un peu de théorie, beaucoup de pratique.

Rq: on n'a pas le temps de le voir, mais il restait un truc sympa à faire concernant L-V: montrer que les trajectoires sont périodiques. cf. le poly de Grégoire Vial (c'est typiquement le genre de belle petite prop. mathématique que vous pouvez démontrer le jour J au tableau, puis ensuite illustrer avec une simu ! En plus, on se rend compte selon la méthode num. utilisée du défaut de périodicité : Euler exp. fait "gagner de l'énergie", Euler imp. en fait perdre; ça perturbe toute une présentation en fait ! 😊).

## I) Exemples sur la stabilité

Attention à ne pas mélanger le théorème en linéaire et le thm. de linéarisation. Voici des exemples pour voir que tout peut arriver avec un  $\text{Re}(\lambda)=0$ .

		Système non linéaire	
		STABLE	INSTABLE
Linéaire	STABLE	$x' = -x^3$	$x' = x^3$
	INSTABLE	$x' = 0$	$x' = 0$
Non linéaire	STABLE	$x' = y$ $y' = -y^{3/2}$	$x' = y$ $y' = -y^2$
	INSTABLE	$x' = y$ $y' = 0$	$x' = y$ $y' = 0$

- ① l'éq. de départ a pour sol  $x(t) = \frac{x_0}{\sqrt{1+2x_0^2t}}$ , donc 0 est stable (2)
- (II)  $|x(t)| \leq |x(0)| \dots$  même asympt!.
- ② ici  $x(t) = \frac{x_0}{\sqrt{1-2x_0^2t}}$  donc 0 est instable ; pire encore, il y a explosion en temps fini.
- ③ Le système non linéaire a pour solutions
- $$x(t) = 2\sqrt{y_0} + x_0 - \frac{4\sqrt{y_0}}{2+ty_0}, \quad y(t) = \frac{4y_0}{(2+\sqrt{y_0}t)^2},$$
- donc  $(0,0)$  est stable (regarder  $\|(\dot{x}, \dot{y})\|$  qui ne contrôle pas  $\|(x_0, y_0)\|$ ).
- ④ linéarisé instable (résolu :  $x$  a une croissance linéaire !) et système à pour sols.  $y(t) = \frac{y_0}{1+y_0 t}$ ,  $x(t) = \ln(1+y_0 t) + x_0 \rightsquigarrow$  instable aussi.

## II) Méthodes numériques

### 1- Construction des méthodes classiques

$$(1) \begin{cases} u'(t) = f(t, u(t)) \\ u(0) = u_0 \end{cases} . \quad \text{On veut approcher la solution sur } [0, T]$$

par une suite de valeurs  $u_m \approx u(t_m)$  pour des temps  $(t_m)_{0 \leq m \leq N}$  formant une subdivision de  $[0, T]$ . On suppose  $f \in C^1$  en  $u$  (en  $\oplus$  de continue), de sorte que sur  $\{u(t) / t \in [0, T]\}$  (où l'on agit  $T <$  temps max d'existence !) qui est  $C$  dans un voisinage,  $f$  sera lipschitziene. On peut aussi  $\oplus$  supposer lipschitziene...

On travaillera uniquement avec un pas fixe :  $t_n = nh$  pour un certain  $h = \lceil \frac{T}{N} \rceil$ .

L'idée est alors de partir de  $u_0$  et de définir  $(u_n)$  grâce à la formule

$$u(t_{n+1}) = u(t_n) + \int_{t_n}^{t_{n+1}} f(s, u(s)) ds \quad (\text{exacte !})$$

$\rightsquigarrow$  on pose donc  $u_{n+1} = u_n + \text{une approximation de cette intégrale.}$

Selon la méthode d'intégration numérique employée, on tombe sur différentes méthodes : ③

- Les rectangles à gauche donnent Euler explicite

$$\parallel u_{n+1} = u_n + h f(t_n, u_n)$$

géométriquement cela revient à suivre pas à pas le champ de vecteurs  $f(t_n, \cdot)$ , tout simplement.

- Rectangles à droite  $\rightarrow$  Euler implicite

$$\parallel u_{n+1} = u_n + h f(t_{n+1}, u_{n+1})$$

① C'est une équation à résoudre en  $u_{n+1}$ . Si  $h$  est assez petit, elle a une solution unique car

$$x = u_n + h f(t_{n+1}, x)$$

peut être vue comme un pb de pt fine pour la fonction

$x \mapsto u_n + h f(t_{n+1}, x)$  qui est  $hL$ -lipschitzienne (où  $L$  désigne une cté de Lip. de  $f$ ).

- Trapèzes (+ Euler explicite sur le  $u_{n+1}$ )  $\rightarrow$  Heun

$$\parallel u_{n+1} = u_n + \frac{h}{2} [f(t_n, u_n) + f(t_{n+1}, u_n + h f(t_n, u_n))]$$

- Point-milieu @ approche du temps intermédiaire  $t_m$  Euler implicite donne Heun

$$\parallel \left\{ \begin{array}{l} u_{n+1/2} = u_n + \frac{h}{2} f(t_{n+1/2}, u_{n+1/2}) \\ u_{n+1} = u_n + h f(t_{n+1/2}, u_{n+1/2}) \end{array} \right.$$

$$\parallel \left\{ \begin{array}{l} u_{n+1/2} = u_n + \frac{h}{2} f(t_{n+1/2}, u_{n+1/2}) \\ u_{n+1} = u_n + h f(t_{n+1/2}, u_{n+1/2}) \end{array} \right.$$

- Simpson donne RK4

$$\left| \begin{array}{l} k_1^n = f(t_n, u_n) \\ k_2^n = f(t_n + \frac{h}{2}, u_n + \frac{h}{2} k_1^n) \\ k_3^n = f(t_n + \frac{h}{2}, u_n + \frac{h}{2} k_2^n) \\ k_4^n = f(t_{n+1}, u_n + h k_3^n) \end{array} \right.$$

$$\Rightarrow u_{n+1} = u_n + \frac{h}{6} [k_1^n + 2k_2^n + 2k_3^n + k_4^n]$$

## 2 - Consistance et stabilité

- La consistance (un meilleur mot aurait été cohérence) de l'anglais "consistent") (cohérent) mesure la cohérence du schéma : a-t-il un sens ? C'est l'erreur commise en remplaçant les  $u_m$  par des  $u(t_m)$ , i.e. on regarde ce que donne la solution exacte comme reste quand on l'approche par le schéma.

Exemple sur Euler explicite :

$$\varepsilon_n := u(t_{n+1}) - u(t_n) - h f(t_n, u_n)$$

Par développement de Taylor (u est C1) on sait que

$$u(t_{n+1}) = u(t_n) + h \underbrace{u'(t_n)} + \frac{h^2}{2} u''(t_n) + o(h^2) \quad (\text{ou } O(h^2))$$

+ ou pas voir de  $u'''$  ...

$$= f(t_n, u(t_n)) \quad \text{car } u \text{ est une solution exacte}$$

$$\text{donc } \varepsilon_n = \frac{h^2}{2} u''(t_n) + o(h^2) \quad (\text{ou } O(h^2))$$

Sommons les erreurs :  $\varepsilon := \sum_{n=0}^{N-1} |\varepsilon_n| \leq \frac{h^2}{2} N \max_{0 \leq n \leq N-1} |u''(t_n)| \leq C R$   
 $(\Delta N = \lceil \frac{T}{h} \rceil)$

Voilà ce qu'est en pratique la consistance : sommer les erreurs et regarder si c'est un  $O(h)$ . On appelle ça de la consistance d'ordre 1. Si on avait eu un  $\leq Ch^2$ , on aurait dit consistance d'ordre 2.  
 Avec  $Ch^p$ , d'ordre p.

En pratique, on la montre toujours avec des développements de Taylor.

- La stabilité d'un schéma numérique est sa capacité à tenir malgré les erreurs successives (on vient de voir qu'un schéma éminemment instable, des certes petites, mais se corrompt tout de même).

Exemple sur Euler explicite : on part de  $(v_n)$  vérifiant le même perturbé

$$v_{n+1} = v_n + h f(t_n, v_n) + \underline{\mu_n} \quad \text{erreur}$$

Le but est de contrôler l'erreur globale commise entre  $(v_n)$  et  $(u_n)$  qui suit le schéma sans erreur

$$\max_{0 \leq n \leq N} |v_n - u_n| \leq C (|u_0 - v_0| + \sum_{m=0}^{N-1} |\mu_m|) ?$$

(5)

Ici on a que  $U_{m+1} - V_{m+1} = U_m - V_m + h f(t_m, U_m) - h f(t_m, V_m) - \mu_m$

donc  $|U_{m+1} - V_{m+1}| \leq |U_m - V_m| (1 + C h) \text{ où } C \text{ cte de Lipschitz de } f(t_m, \cdot)$   
 $+ |\mu_m|$

Le lemme de Gronwall discréte permet alors d'assurer

$$|U_n - V_n| \leq e^{C \frac{(t_n - t_0)}{\Delta T}} |U_0 - V_0| + \sum_{i=0}^{n-1} e^{C \frac{(t_n - t_{i+1})}{\Delta T}} |\mu_i|$$

en posant  $S = e^{CT}$  on a

$$|U_n - V_n| \leq S \left( |U_0 - V_0| + \sum_{i=0}^{n-1} |\mu_i| \right) \text{ donc Euler explicite est stable.}$$

- La convergence d'un schéma, c'est savoir si  $u(t_m)$  est bien approché par  $u_n$ . On dit qu'un schéma est convergent d'ordre p si

$$\lim_{0 \leq m \leq N} |U_m - u(t_m)| \leq C h^p$$

Prop : un schéma consistant d'ordre p et stable est convergent d'ordre p.

Preuve : on a tout fait pour : on pose  $\varepsilon_m, v_m = u(t_m)$ , alors  $\mu_m = \varepsilon_m$  l'erreur de consistance au pas  $m$ . En prenant bien sur  $U_0 = u_0$

on a par stabilité,

et 1<sup>er</sup> terme de la suite.  $\varepsilon$  celui de l'équiff

$$|U_m - u(t_m)| \leq S \sum_{i=0}^{m-1} |\varepsilon_i| \leq S C h^p$$

à comprendre parfaitement par consistance d'ordre p  
 et à savoir refaire.

Apparté : lemme de Gronwall discréte

Soient des suites  $t_m, \theta_m \geq 0$  et  $\mu_m \in \mathbb{R}$  tq

$(t_m)$  subdivision de  $[0, T]$

$$\Theta_{m+1} \leq (1 + \Delta t_{m+1}) \Theta_m + |\mu_m|$$

$$\text{alors } \forall m, \quad \Theta_m \leq e^{\Delta t_{m+1}} + \sum_{0 \leq i \leq m-1} e^{\Delta t_{m-i+1}} |\mu_i|$$

Preuve: par récurrence.

$n=0$  donne  $\theta_0 \leq \theta_0$ , où.

Supposons vrai au rang  $n$ . Alors

$$\begin{aligned}\theta_{n+1} &\leq (1 + \lambda(t_{n+1} - t_n)) \theta_n + |\mu_n| \\ &\stackrel{\text{h.h.}}{\leq} (1 + \lambda(t_{n+1} - t_n)) e^{-\lambda(t_n - t_0)} \theta_0 + \sum_{i=0}^{n-1} (1 + \lambda(t_{n+i+1} - t_n)) e^{-\lambda(t_n - t_{i+1})} |\mu_i| + |\mu_n|\end{aligned}$$

$$\text{Or } 1 + \lambda(t_{n+1} - t_n) \leq e^{\lambda(t_{n+1} - t_n)} \quad (\text{convexité de l'exponentielle !})$$

$$\text{d'où } \theta_{n+1} \leq e^{-\lambda(t_{n+1} - t_0)} + \underbrace{\sum_{i=0}^{n-1} e^{-\lambda(t_{n+i+1} - t_{i+1})} |\mu_i|}_{\sum_{i=0}^n e^{-\lambda(t_{n+i+1} - t_{i+1})} |\mu_i|} + |\mu_n|$$

### 3) Formalisme général des méthodes numériques

⚠ C'est peu pratique et peu utilisé ; mais ça raccourt les notations et permet une discussion générale. En pratique : préférez faire les choses à la main, tout en ayant les idées générales en tête.

On écrit un schéma comme un

$$v_{n+1} = v_n + \phi(t_n, h_n, v_n)$$

↑ en pratique on oublie cette variable car on prend pas  $t_n$ .

Déf: erreur de consistante locale au pas  $n$ .

$$\epsilon_n = u(t_{n+1}) - \phi(t_n, u(t_n)) \quad \text{où } u \text{ est la sol. exacte.}$$

Déf: un schéma est dit consistant d'ordre  $p$  si

$$\epsilon := \sum_{n=0}^{N-1} |\epsilon_n| = O(h^p)$$

Déf: stabilité.

Soit  $v_{n+1} = \phi(t_n, v_n) + \mu_n$ . On dit que le schéma associé à  $\phi$  est stable si  $\max_{0 \leq n \leq N} |v_n - v_n| \leq C(|v_0 - v_0| + \sum_{n=0}^{N-1} |\mu_n|)$

(où  $v_n$  suit le schéma sans erreur!).

Thm: si le schéma associé à  $\phi$  est consistant d'ordre  $p$  et stable, il est convergent d'ordre  $p$ , i.e.  $\max_{0 \leq n \leq N} |v_n - u(t_n)| \leq Ch^p$ .

Preuve: la même que pour l'exemple, elle contient toute la généralité.

(7)

En pratique: on montrera la consistante avec des développements limités. On montrera la stabilité pour des raisons de lipschitzianité et de Gronwall discret. En fait, on a une condition suffisante de stabilité, qui est ce qui se passe en pratique:

|| le schéma associé à  $\phi$  est stable si  $\phi$  est lipschitzienne en  $u$ .  
(Encore une fois, ceci apparaît clairement dans l'exemple, <sup>cette condition</sup> permet justement de renoncer à l'hypothèse de Gronwall discret).

### TABLEAU DES SCHÉMAS USUELS (et exercice que de le prouver).

schéma	Convergence d'ordre :
Euler exp.	1
Euler imp.	1
Crank-Nicholson	2
Huen	2
RK 4	4

### Remarques:

- Quel intérêt pour Euler implicite alors ? En fait les méthodes implicites sont plus stables (en un autre sens que celui ci-dessus), cf le texte sur la cinétique chimique, ou [QUA]

Toutes ces choses s'illustrent bien (et se testent !) sur  $y' = -\lambda y$ ,  $\lambda \gg 1$

Euler exp donne  $y_n = y_0 (1-\lambda h)^n$  et si  $\lambda h > 2$  la suite change de signe, est non bornée, etc..

Euler implicite donne  $y_n = \frac{y_0}{(1+\lambda h)^n}$  pas de pb si  $h$ .

Morallement : la théorie dit que tout se passe bien quand  $h \rightarrow 0$ , mais dans la vie on a  $h$  fixé, et non vont aller assez loin en temps

sans prendre un  $h$  minuscule, les méthodes implicites sont bien plus efficaces. ⑧

- Partout où l'on a parlé de lipschitzianité, ça peut parfois être fort : ~~généralement~~ en pratique qqch de non linéaire ne pourra pas l'être ! Ce qu'il se passe : on étudie  $u(t)$  sur un temps  $[0, T]$  avec  $T$  fixé inférieur au temps minimal d'existence, donc  $u$ , continue sur  $[0, T]$ ,  $y$  est borné, et alors  $f, e^t$ , sera bien globalement lipschitzienne sur ~~un~~ l'ensemble le compact où  $u$  prend ses valeurs.

Réfs :

- Demailly pour le formalisme général. (Δ c'est lourd)
- grail.org pour poursuivre dans l'esprit de ce cours.
- M. Crouzeix, A.-L. Mignot, analyse numérique des éq. diff. pour la construction des méthodes par intégration numérique et une présentation agréable.
- Quarteroni, Sacco, Saleri, numerical mathematics (Δ pasé !) pour plein de choses, dont la notion de stabilité face à  $y' = -\lambda y$ , aussi pour une preuve de la convergence de la méthode de Newton, qui en pratique sert à résoudre l'éq. de Euler implicite).

Appel : comment résoudre  $u_{m+1} = u_m + h f(t_{m+1}, u_{m+1})$ ? On a vu que l'éq.  $x = u_m + h f(t_{m+1}, x)$  avait une unique sol. si  $h$  est assez petit. Pour l'approcher on résulte  $x - u_m - h f(t_{m+1}, x) = 0$  par Newton :

on part de $x_0$ ( $= u_m$ par exemple)	$x_{m+1} = x_m - D_N(x_m)^{-1} N(x_m)$
---	--

NEWTON SUR RAPPEL

On itérera assez de fois pour espérer avoir une bonne approximation, ce qui est sensé être le cas car la méthode de Newton a une convergence quadratique locale, i.e., si l'on part pas

trop loin de la solution (On p' ex n'est pas trop loin de  $u_{n+1}$ , on espère!)<sup>⑨</sup>  
 alors la suite  $x_m$  converge vers la solution, et la précision est doublée  
 à chaque itération!!!

$$|(x_{m+1} - x)| \leq C |x_{m-1} - x| \quad |②| \quad \begin{matrix} \leftarrow \text{Le } 2 \text{ de quadratique.} \\ \leftarrow \text{La preuve en dimension 1 est} \\ \text{classique. En dim-}n, \\ \text{cf [Vanteroni], postu} \\ \text{mpliqué! Et instrucf.} \end{matrix}$$

En pratique, surtout ne pas inverser  $DN$  mais juste résoudre le système  $DN(x_m) \hat{x}_{m+1} = N(x_m)$ , dans Matlab :

$$x_{m+1} = x_m - DN(x_m)^{-1} N(x_m)$$

Bien sûr,  $N(\cdot)$  désignait partout

$$N(x) = x - u_m - h f(t_{m+1}, x)$$

$$\text{et donc } DN(x) = Id - h D f(t_{m+1}, x)$$

qui est inversible dès lors que  $h$  est assez petit par ouverture  
 de  $G_m(\mathbb{R})$ ...

